

## دراسة البلي الانزلاقى الجاف لبعض سبائك النحاس

أ.م.د. منى خضرير عباس & فاضل مالك رشيد

تاريخ التسليم: ٢٠٠٤/٢/٢٩

تاريخ القبول: ٢٠٠٤/٨/١٤

### الخلاصة

يتضمن البحث دراسة البلي الانزلاقى الجاف لثلاث مجاسع من سبائك النحاس وهى ببرونز الألمنيوم وببرونز السليكون وببرونز المدافع المقوى (*Admiralty gun bronze*). وتم تحضير هذه السبائك بعملية الصهر والصب فى قوالب معدنية.

تم اختبار عينات البلي باستخدام جهاز قياس البلي ذي ترتيبة المصمار على القرص (*Pin-On-Disc*) تحت ظروف مختلفة من حيث الاحمال المسلطة وسرع الانزلاق مع ثبوت صلادة القرص الفولاذى (35HRC).

توصل البحث إلى أن معدل البلي يزداد بزيادة الحمل المسلط حيث يتحوال البلي من البلي الطرى (*Mild wear*) إلى مرحلة البلي الانتقالى (*Transition wear*) عند زيادة الحمل المسلط وينخفض معدل البلي بزيادة سرعة الانزلاق ولجميع السبائك المستخدمة.

ثبتت النتائج إن سبيكة ببرونز المدفع المقوى هي أفضل السبائك المستخدمة لأنها أظهرت مقاومة بلي عالية.

### *Study of Dry Sliding Wear of Some Copper Alloys*

#### *Abstract:*

*This research has studied the properties of dry sliding wear of three groups of copper alloys, Aluminum bronze, Silicon bronze and Admiralty gun bronze. These three groups were prepared by melting and casting in a metallic molds. These wear samples have been examined by using (Pin-On-Disc) apparatus under different wear conditions including applied loads and sliding speeds and disc hardness is constant (35HRC).*

*It was found that the wear rate increased as the applied load increases and the wear behavior was changed from mild wear into transition wear as the applied load is increased.*

*It was found the wear rate decreased as sliding speed increases for all used alloys. The Admiralty gun bronze alloy is considered as the best alloy because of its high resistance to wear.*

ذات تقنيات حديثة ومتعددة منها تحسين الصلادة السطحية<sup>[2]</sup>، أو استخدام الكربنة والببوردة وكذلك استخدام أشعة الليزر واستغلال خاصية التحوّلات الطوريّة لبعض المواد عند سطوحها المحتكرة أثناء الخدمة<sup>[3,4]</sup> وعرف Sarker<sup>[5]</sup> البلي الالتصاقى العمليّة التي تعطي فقدان متزايد للمعدن عند السطوح المتباينة (interaction surface) نتيجة تلاصق النتواءات المتقابلة لكلا المسطحين.

تعد سبائك النحاس وخاصة مسبوكات سبائك البرونز اختيار الأمثل للمحامل (bearings) عند تشغيلها مقابل الفولاذ أو حديد الزهر حيث تمتاز سبائك البرونز بالمتانة وقابلية التشغيل، مقاومة جيدة

#### **Introduction**

تعد مشكلة الاحتكاك والبلي من المشاكل المهمة والكبيرة التي تعاني منها جميع المكانن ذات الحركات الترددية أو الانزلاقية أو التدرجية وذلك بسبب تأثيرها السلبي على دقة أداء وعمل تلك المكانن حيث يمكن أن تقلل من قدرتها العملية أو كفالتها الإنتاجية علاوة على الخسائر الجسمية المرتبطة من جراء إصلاح وإعادة بناء الأجهزة

<sup>[1]</sup> الثالثة

ونظراً إلى المشاكل التي تسببها ظاهرة الاحتكاك والبلي فقد اهتم الباحثون بدراسة الاحتكاك والبلي ومعرفة أسبابهما والعوامل المؤثرة عليهما، وقد عملوا على تقليل هذه الظاهرة باستخدام وسائل

(1000,500,320) ثم أجريت عملية صقل باستخدام قماش صقل ومادة معجون الماس ذات حجم حبيبي (5 $\mu\text{m}$ ) مع سائل تزييت، ثم غسلت العينات بالماء والكحول وجففت بالهواء. . وأخيراً تمت عملية إظهار العينات باستخدام محلول الإظهار كلوريد الحديديك الكحولي .  
والشكل (1) يوضح البنية المجهرية للسبائك المحضره.

#### - 4 قياس صلادة العينات

تم استخدام طريقة برينيل (Brinell Test) في قيام الصلادة العبانية (Macrohardness) للعينات باستخدام كرة فولاذية قطرها 2.5 mm وسلط حمل مقداره 60 kg حيث تم حساب متوسط قيم الصلادة (عشر قراءات للأثر المتراوх). والجدول (2) يبين نتائج اختبار الصلادة للسبائك المستخدمة.

**5- تحضير عينات اختبار البلي preparation of wear specimens**  
تم تشغيل السبائك المصبوبة والمجالسة حراريا على المخرطة والحصول على عينات أسطوانية يقطر (10mm) وطول (15mm) بعد ذلك أجريت عمليات تحضير سطح البلي بإجراء عمليات التعميم الرطب باستخدام ورق تتعيم بدرجات مختلفة بعد ذلك أجريت عملية صقل للعينات باستخدام قماش صقل ومادة معجون الماس بدرجة (5 $\mu\text{m}$ ) وسائل تزييت ثم غسلت العينات بالماء والكحول وجففت.

**6- تحديد متغيرات الاختبار المؤثر على معدل البلي**  
تم استخدام جهاز البلي من نوع السمار على القرص (Pin-On-Disc) ، حيث يتكون الجهاز من محرك كهربائي يدور بسرعة دورانية ثابتة (940rpm) ، ثم يتم نقل الحركة من المحرك إلى القرص الفولاذى حيث تكون سرعة دوران القرص (510rpm) كما يحتوى الجهاز على ذراع قطاع مستطيل توضع في نهايته أقفال الموازنة فضلاً عن وجود عمود ثابت فيه العينة بواسطة ماسك . وتم تحديد ثلاث متغيرات مؤثرة على معدل البلي هي الحمل المسلط N(5-25) وسرعة الانزلاق (3.7,2.6,1.6)m/sec للسبائك المحضره برونز الألمنيوم ، برونز السليكون وبرونز المدافع المقوى . وكانت صلادة

للاحتكاك والبلي إضافة إلى مقاومتها للتآكل الكيميائي [7,6].

ويساهم البحث الحالى فى تحديد الأسلوب الأفضل لاختبار السبائك ذات المقاومة الأكثـر للبـلي من سبائك النحـاس المختـالـفة واستخدامـها فى التطـبـيقـات الزـارـبـولـوجـيـةـ وـالـهـنـدـسـيـةـ المختـالـفةـ وـحـسـبـ طـرـوفـ الشـغـيلـ المنـاسـبـ وكـذـاكـ مـعـرـفـةـ تـأـثـيرـ عـنـاصـرـ السـبـكـ المـخـتـالـفـةـ كـالـآلـمـنـيـومـ وـالـسـلـيـكـونـ وـالـقـصـدـيرـ عـلـىـ مـعـدـلـ الـبـليـ لـسـبـائـكـ النـحـاسـ .

#### 2- الجزء العلمي Experimental Work

##### 2- 1 تحضير السبائك Alloys preparation

تم تحضير السبائك المستخدمة في البحث وهي برونز الألمنيوم وبرونز السليكون وبرونز المدافع المقوى بعملية الصهر والصب في قوالب معدنية وذلك بصهر كمية محددة من النحاس النقفي أي بنسبة 88 % من وزن السبائك و10% من القصدير و 2% خارجين من وزن السبائك الكالسي عن طريق التحريك المستمر للمزيج وصبه في قالب معدني للحصول على السبائك المطلوبة برونز القصدير أو المدافع المقوى . . تعاد نفس الخطوات السابقة للحصول على السبائك الأخرى. تم اجراء التحليل الكيميائي للسبائك المحضره باستخدام جهاز التحليل الطيفي Atomic Absorption Type Inc II457 (1) يبين نتائج التركيب الكيميائي للسبائك المحضره.

##### 2- 2 المجالس الحرارية:-

###### Homogenization

تم اجراء المجالسة الحرارية للسبائك المصبوبة باستخدام فرن كهربائي نوع (Carbolite) عند درجة حرارة 550°C و زمن 6hr حيث تؤدي المجالسة الى التخلص من بعض عيوب السباكة والتخلص من الاجهادات الداخلية .

##### 3- تحضير العينات للفحص المجهرى Specimens preparation

تم تحضير العينات من السبائك المصبوبة بعد المجالسة الحرارية حيث تم قطع عينة بقطر (10)مم وطول (5)مم لكل صبة لغرض الفحص المجهرى لها حيث تم إسناد العينات على البارد وذلك لتسهيل العمليات اللاحقة من تتعيم وصقل . وقد تم اجراء عملية التعميم الرطب بالماء باستخدام ورق تتعيم من (SIC) ودرجات نعومة مختلفة

ميكانيكياً بمقدار أكبر من الأطوار الأخرى. أما سبيكة برونز الواقع المقصوى (Cu-Sn-Zn) فقد أعطت أقل معدل بلى مقارنة مع السبائك الأخرى وهذا يعزى إلى وجود طورين في التركيب المجهري وهما طور (α) ( محلول جامد ) وهو طور ليس يتعرض إلى البلى بمقدار أكبر من الطور الآخر طور (ε) ( Cu<sub>3</sub>Sn ) طور هش وصله مقاوم للبلى والحك [١٩,٨].

### 3-2 تأثير الحمل المسلط

أظهرت نتائج الاختبار العملية التي أجريت عند أحmal مسلطه مقدارها N(25,15,10) وسرع انزلاق مقدارها m/sec (3.7,2.6,1.6) وصلادة القرص (35HRC) أن زيادة الحمل المسلط تؤدي إلى زيادة معدل البلى حيث يتحول البلى من مرحلة البلى الطري أو المتوسط (Mild wear) إلى مرحلة البلى الانتقالية (Transition wear) عند زيادة الحمل المسلط كما موضح في الشكل (3). ويعزى سبب ذلك إلى إن بزيادة الحمل المسلط يزداد التشوه اللدن الحاصل لقمع التنوّعات السطحية للعينة مما يؤدي إلى زيادة كثافة الانخلاعات (dislocations) وبالتالي ينتج عن ذلك تصليد افعالي كذلك زيادة صلادة العينة (السبائك) تدريجياً مما يؤدي إلى تكون شرقي صغيرة (Microcracks) في سطح العينة [١٩] كما موضح في الشكل (4).

إن البلى الالتصاقى الناتج عن عملية انزلاق السطوح المعدنية لكل من العينة والقرص المدور على بعضها البعض يسبب تشويهاً لدناً واصلاً وانفعالياً لسطح العينات والطبقات التحت السطحية (Subsurface layers) أيضاً وقد إشارة إلى ذلك المصدر [١١,١٠].

### 3-3 تأثير تغير سرعة الانزلاق

أظهرت نتائج الاختبارات العملية التي أجريت عند حمل مسلط مقداره (25N) وصلادة قرص مقدارها (35 HRC) وسرع انزلاق (3.7, 2.6, 1.6) m/sec مقدارها بين سرعة الانزلاق ومعدل البلى هي علاقة عكسية ولجميع السبائك المستخدمة كما موضح في الشكل (5). ويعزى سبب ذلك إلى زيادة درجة الحرارة اللحظية ( Flash Temperature ) المتولدة نتيجة الانزلاق والاحتكاك السطوح المتلامسة بعضها على البعض تزداد مع زيادة سرعة الانزلاق [١٠] ويكون تسرب الحرارة خلال معدن

القرص الفولاذى ثابتة (35HRC) (تعادل 333HB).

### 2-7 حساب معدل البلى

تم حساب معدل البلى للسبائك المحضره باستخدام الطريقة الوزنية حيث تم حساب وزن العينة قبل وبعد الاختيار بواسطة الميزان الحساس من نوع Mettler ( AE200 ) وبدرجة حساسية مقدارها (0.0001gm) وبحسب معدل البلى من القانون الآتي:-

$$Wear\ rate (W.R) = \frac{\Delta W}{S.D} = \frac{\Delta W}{\pi D N t}$$

$$D=S.S*t, \quad \Delta W=W_0-W_1$$

$\Delta W$  = الوزن المفقود (weight loss)

$W_0$  = وزن العينة قبل الاختبار.

$W_1$  = وزن العينة بعد الاختبار.

D = 10cm ، S.D = مسافة الانزلاق ،

t = زمن الانزلاق (زمن اجراء الاختبار)

t=60 min

S.S = سرعة الانزلاق ،

W.R = معدل البلى الوزني ،

gm/cm

### 2-8 قياس الخشونة

تم قياس خشونة السطح للقرص الفولاذى وللعينات المستخدمة في اختبارات البلى في الجهاز центральный للقياس والسيطرة النوعية وباستخدام جهاز S6p perthometer وكانت 0.35µm تجليخ ناعم ، 0.25µm صقل للقرص والعينات على التوالي .

### 3- النتائج والمناقشة

#### 3-1 تأثير تغير زمن الانزلاق

أظهرت نتائج الاختبار العملية التي أجريت عند حمل مسلط مقداره (25N) وسرعة انزلاق مقدارها (2.6)m/sec (2.6) وصلادة قرص مقدارها (35HRC) أن معدل البلى وللسبائك المستخدمة جميعها يزداد زيادة طفيفة جداً بزيادة زمن الانزلاق ضمن الدائرة الأولى من زمن الاختبار وبعدها يتثبت ويصل إلى الحالة المستقرة (Steady State) كما موضح في الشكل رقم (2) . إن سبيكة برونز الألمنيوم (Cu-Al) أظهرت معدل بلى عالي نسبياً مقارنة مع السبائك المستخدمة الأخرى وهذا يعود إلى طبيعة التركيب المجهري وتكوين طور أحدى (طور α) فقط وهو طور ليس يتأكل

**5- References**

- [1] V. H. Davies and L. A. Bolton, "The mechanism of Wear" The Welding Institute Abington-Hall Abington Cambridge, 1980, p 4-10.
- [2] C. S. Yust, " Tribology and Wear", International Metals Reviews, Vol. 30, No. 3, 1985, p141-153.
- [3] D. Dowson, "wear oh Where", International Conference on Wear of Materials, Wear, Vol.103, 1985, p 189-203.
- [4] R.L. Timings, "Engineering Materials", Vol.1, 3<sup>rd</sup> edition, British Library Cataloguing in Publication Data, printed in Mataysia by Chee Leong press Sdn, London,1991.
- [5] A. D.Sarkar, "Wear of Metals", Pergamon press, Vol.18, 1976, p2-24.
- [6] W. Bolton , "Engineering Metals Technology", Butter worths, 3<sup>rd</sup> edition, 1998, p 56.
- [7] [http://www.copper.org/applications/industrial/low\\_lead.html](http://www.copper.org/applications/industrial/low_lead.html) copper.org CDA, Copyright 2003 copper Development Association Envirobrass I and Envirobrass II.
- [8] <http://www.Brushwell man.com/alloy/tech-lit/AT0028.pdf> Galling Resistance of mold MAX XL and other copper Alloy for plate Application , by John Ratka Brush Wellman Inc.
- [9] W. A. Glaeser , "Wear Properties of Heavy Copper Base Bearing Alloys", Journal of Metals, No.3, 1983, p 50-55.
- [10] عبد الله عذيب ، "دراسة على النحاس الأصفر تحت ظروف الانزلاق الجاف" ، رسالة ماجستير، قسم هندسة الانتاج والمعادن ، الجامعة التكنولوجية، 1986 .
- [11] <http://www.copper.org/applications/industrial/pdf-files/sebiloy.pdf> Alloy DATA Sheet, Non-leaded Red brass and yellow brass Casting Alloys.
- [12] فادية محمد الجنابي ، "بناء برنامج تعليمي لدراسة ظاهر البلي في المعادن" ، رسالة ماجستير ، قسم التعليم التكنولوجي ، الجامعة التكنولوجية، 1999 .

العينة عند السرع الانزلاقية العالية أقل مما هو عليه عند السرع الواطئة وبالتالي حصول التحام جزئي بين نتوءات السطحين المترافقين عند نقاط الاتصال (Asperities) مما ينتج عنه انفصال جسيمات من سطح العينة وتكون حطام البلي (dredris) والذي يؤدي إلى زيادة معدل البلي كما موضح في الشكل ( 6 ) . كما اشارت إلى ذلك الباحثة فاديّة محمد [12] إلى سبيكة البرونز ( Cu/Sn/Zn ) .

ونتيجة لارتفاع درجة الحرارة السطحية للعينة بسبب زيادة سرعة الانزلاق سوف تكون طبقة أوكسيدية على سطح البلي وتزداد هذه الطبقة مع زيادة سرعة الانزلاق مما يؤدي إلى تكوين حطام بلي أوكسidi كما موضح في الصورة المجهرية (شکل 6) . وهذه النتائج أكدتها الدراسة التي قام بها الباحث فاضل مالك [13] .

وبالاخط في الشكل (7) تأثير سرعة الانزلاق على سطح عينة برونز الالمنيوم إن خطوط البلي تكون داعمة ومتقاربة عند السرع الانزلاقية العالية وذلك نتيجة طبقة ألاوكسidi التي تعمل كحد فاصل ومزرت ما بين سطح العينة وسطح القرص الدوار مما يؤدي ذلك بالنتيجة إلى سطح مستو ومسطح مما ينتج عن ذلك قلة وانخفاض معدل البلي وهذه النتائج تتوافق مع الدراسة التي قام الباحث Jafar وجماعته [14] .

**4 - الاستنتاجات**

- 1- زيادة الحمل المسلط أدى إلى تغيير سلوك البلي الطري إلى البلي الانتقالـي ولجميع السبائك المستخدمة.
- 2- يقل معدل البلي بزيادة سرعة الانزلاق ولجميع السبائك المستخدمة .
- 3- يعتبر وجود دقائق السليكون كمادة مصددة في سبيكة برونز المليكون عامل مساعد في خفض معدل البلي .
- 4- إن معدل البلي ومعامل الاحتكاك يعتمدان على طبيعة وتركيب السبيكة حيث يقل معدل البلي يوجد عنصر القصدير في برونز المدافع المقوى الذي يعمل على تكوين طور صلب.
- 5- تعتبر سبيكة البرونز المدفع المقوى هي أكثر السبائك ملائمة في التطبيقات التربينولوجية وبحدود الاحمال المستخدمة .
- 6- سبيكة البرونز المدفع المقوى هي أفضل السبائك لأنها أظهرت أعلى مقاومة بلي مقارنة بالسبائك الأخرى.

[14] د. جعفر طاهر الحيدري ، "تأثير عناصر الرصاص على الخواص التربولوجية لسبائك البراسن" مجلة الهندسة والتكنولوجيا ، المجلد ١٧ ، العدد ١١ ، ص ١٧٤-١٨٥ ، ١٩٩٨ .

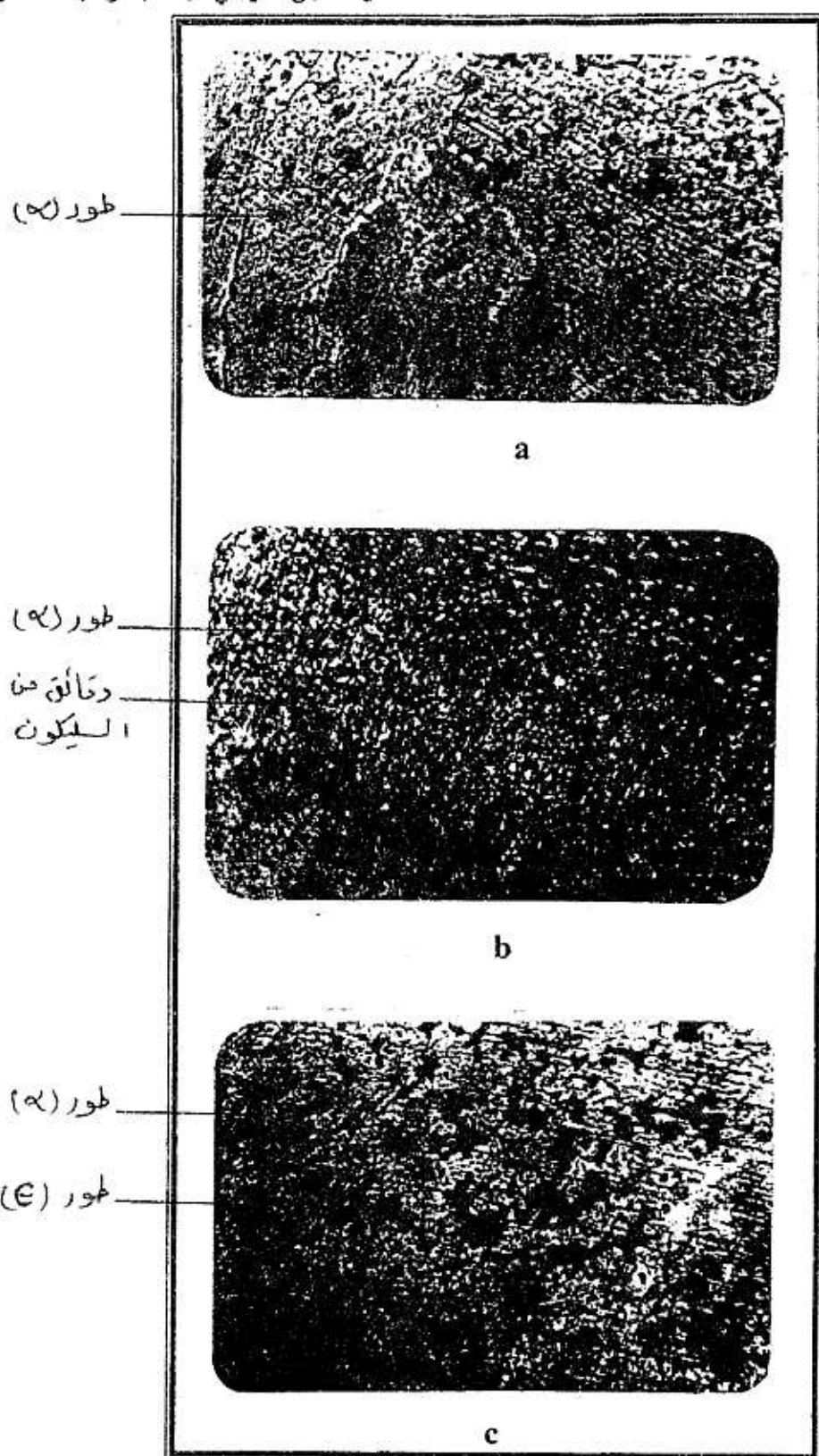
[13] فاضل مالك رشيد ، دراسة الائزلاقي الجاف لبعض سبائك النحاس ، رسالة ماجستير ، قسم التعليم التكنولوجي ، الجامعة التكنولوجية ، ٢٠٠١ .

الجدول (١) يبين نتائج التركيب الكيميائي للسبائك الخضراء

Alloy	Element w t %									
	Al	Fe	Sn	Si	Zn	Mn	Ni	Pd	Cd	Cu
Al bronze	7.1	.073	0.5	.001	.123	0.01	.001	.006	.001	Rem
Silicon bronze	.001	.086	0.20	1.103	1.0	.301	.001	.008	.001	=
Admiralty Gun bronze	.001	.008	10	.001	1.0	.002	.001	.001	.001	=

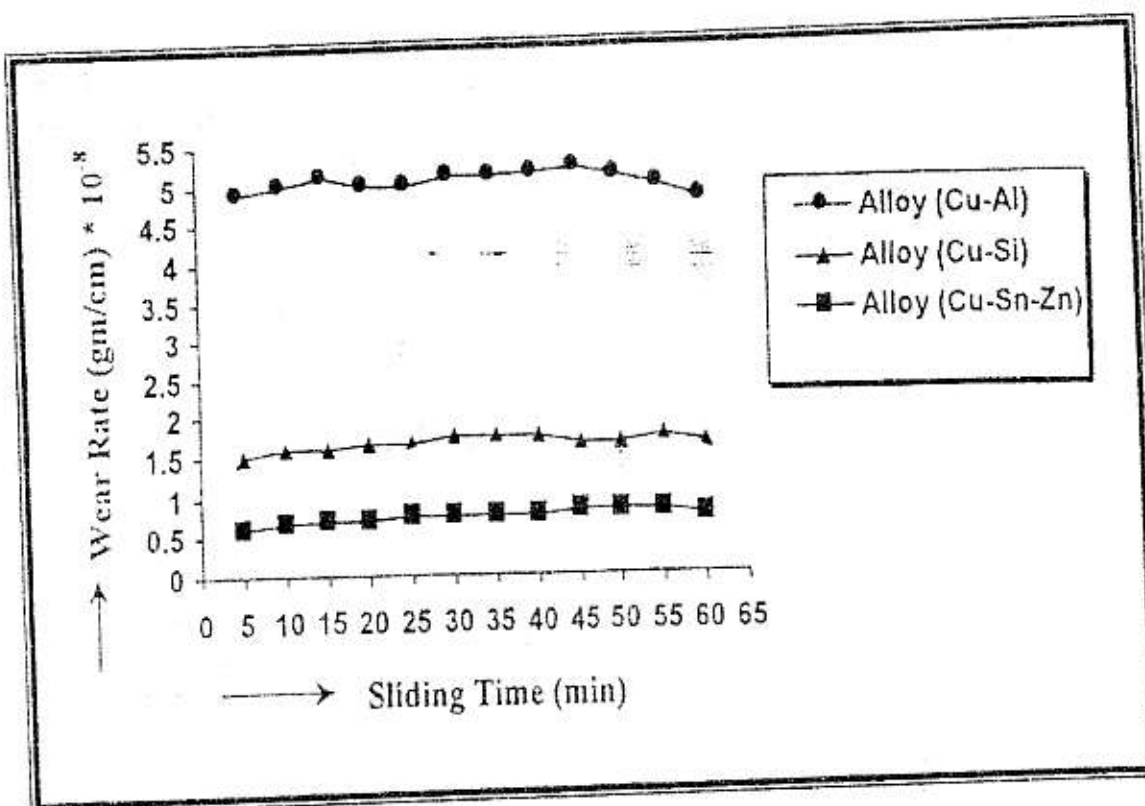
الجدول (٢) يبين نتائج اختبار الصلاحة للسبائك المستخدمة

Alloys	HB kg/mm <sup>2</sup>
Al-bronze	70
Si-bronze	75
Admiralty Gun bronze	132

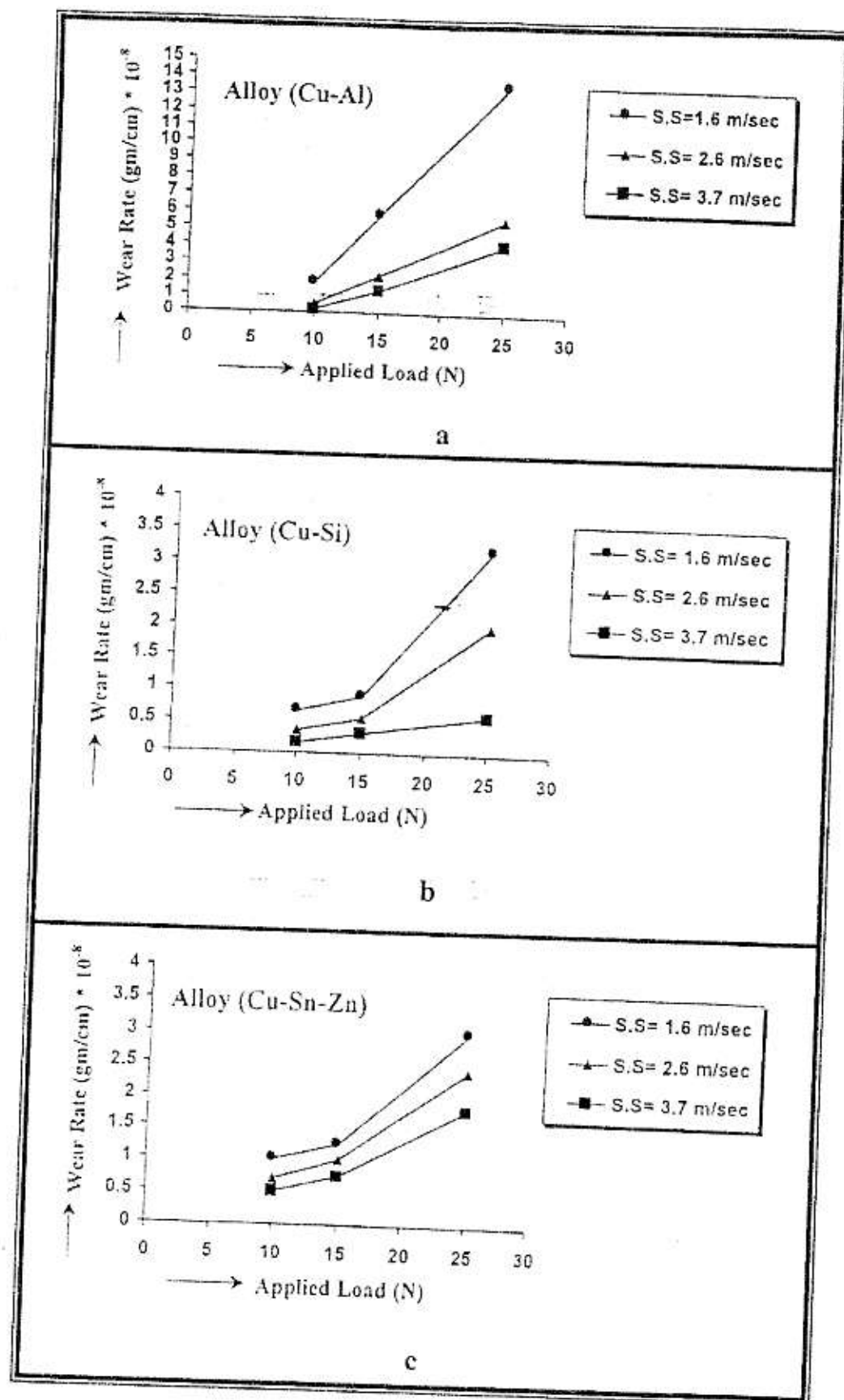


شكل (١) يوضح التركيب المجهرى للسبائك المستخدمة في البحث  
قوة التكبير  $\times 160$

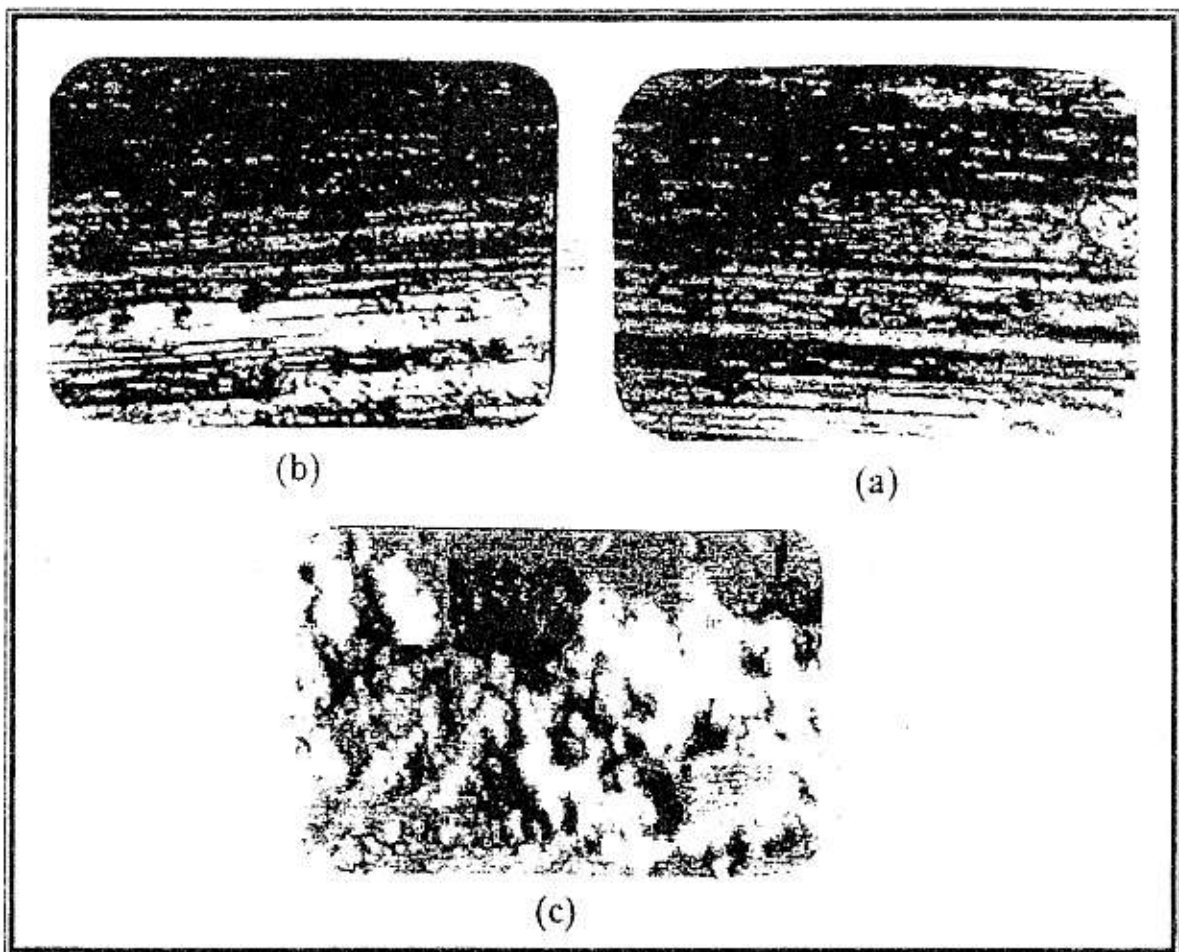
- (a) سبيكة برونز الالمنيوم (Al bronze)
- (b) سبيكة برونز السليكون (Si bronze)
- (c) سبيكة برونز المدافع المقوى (Admiralty gun bronze)



شكل (2) يوضح علاقة معدل البلي مع زمن ايزلاق للسبائك المستخدمة  
شد حمل درجة قرقل (35HRc) وسرعة ايزلاق ( $2.6 \frac{\text{m}}{\text{sec}}$ )

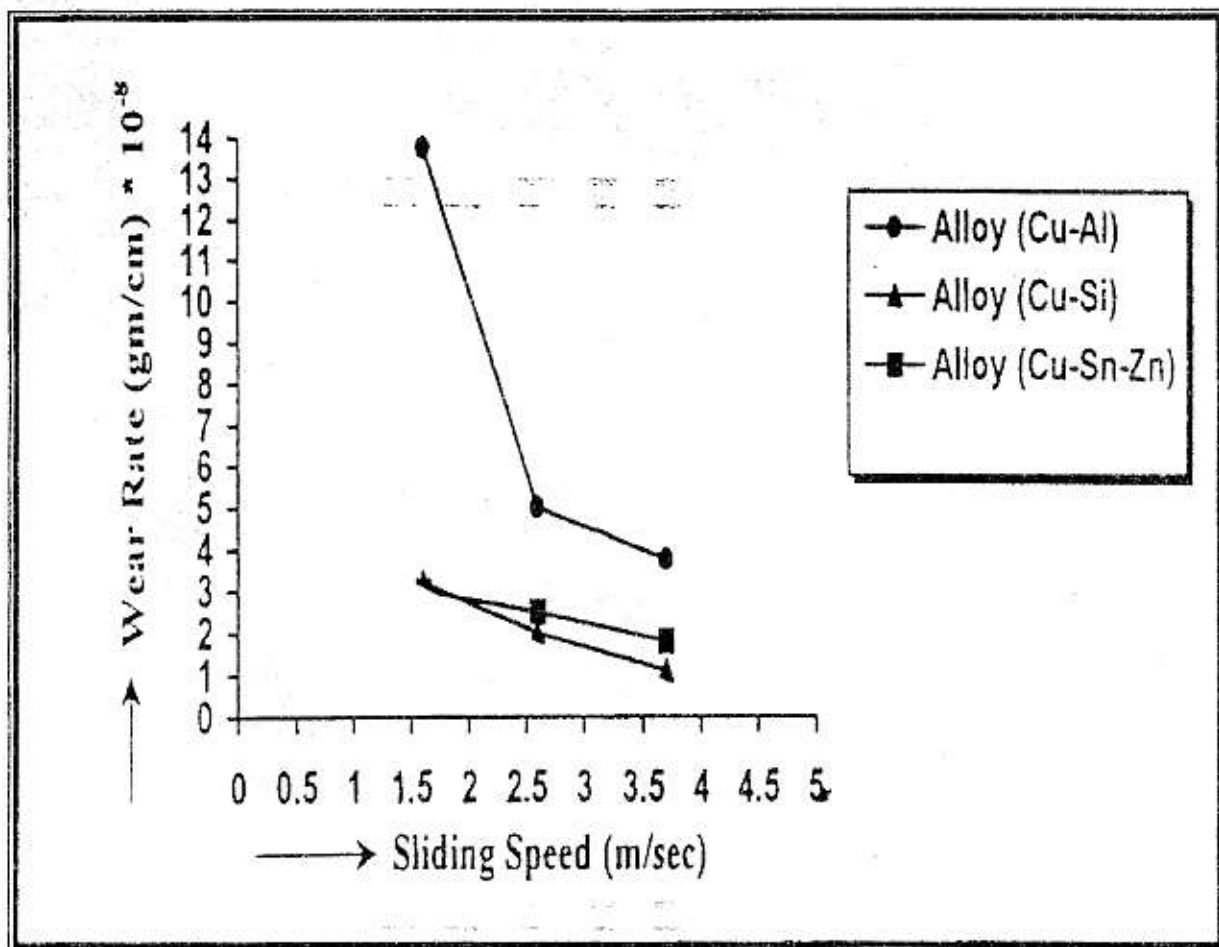


شكل (3) يمثل العلاقة بين معدل البلي والحمل المسلط للسبائك المستخدمة عند سرع انزلاقية مختلفة وصلادة قرص (35)HRC

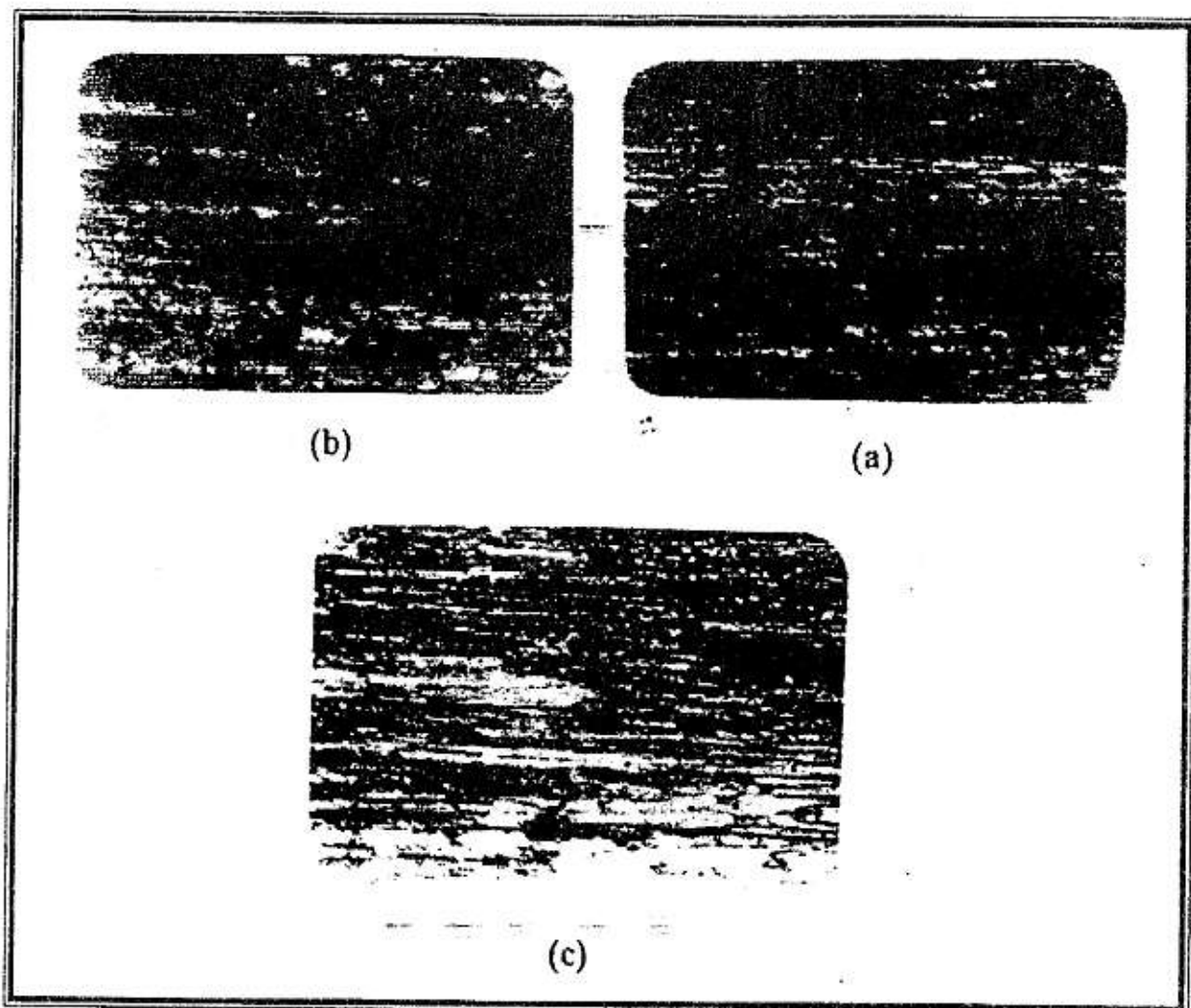


شكل رقم (4) صور المجهر الضوئي توضح تأثير زيادة الحمل على سطح عينة برونز السليكون المشغفة عند سرعة ازلاق (2.6) m/sec وصلادة قرص HRC (35) قوة التكبير (160x)

(10) عند حمل N (a)  
(15) عند حمل N (b)  
(25) عند حمل N (c)



شكل رقم (5) يوضح علاقة معدل البلي مع سرعة الانزلاق للسبائك المستخدمة عند حمل N (25) وصلادة قرص HRC (35)



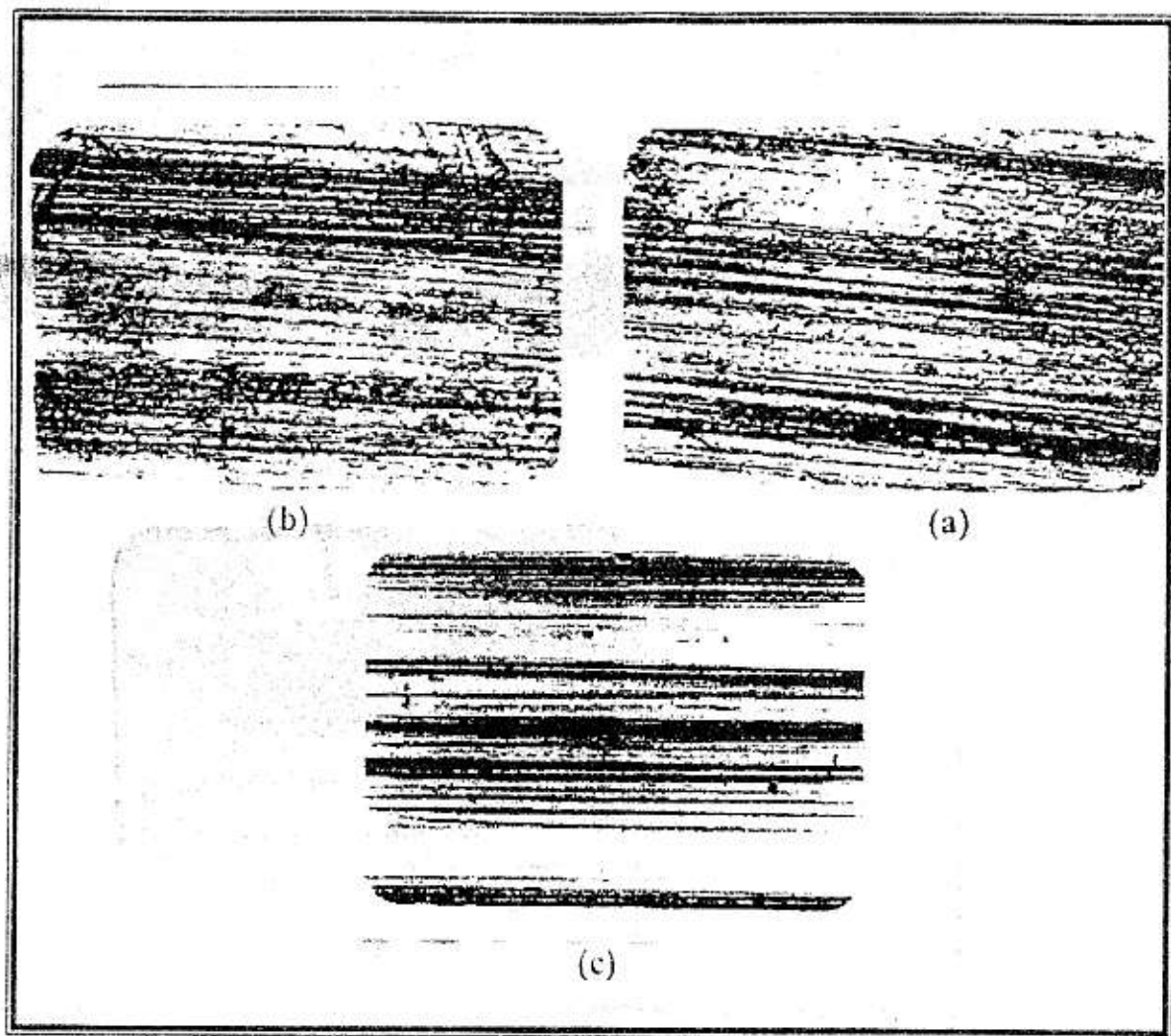
شكل رقم (6) صور المجهر الضوئي توضح تأثير زيادة سرعة الانزلاق على سطح عينة برونز المدافع المقوى المشغلة عند حمل N (10) وصلادة فرق HRC (35) رَكْوِينْ هَلَامْ

بِلْسُ أَرْكِيدِيٍّ ، قُوَّةُ التَّكْبِيرِ 100 x

(1.6) m/sec (a)

(2.6) m/sec (b)

(3.7) m/sec (c)



شكل رقم (7) صور المجهر الضوئي توضح تأثير سرعة الانزلاق على سطح عينة برونز الامنيوم المشغلة عند حمل N (15) وصلادة قرص HRC (35) وعائد جاذبية فلتوط  
البلل ، قوة التكبير (100X)

(a) عند سرعة ازلاق  $1.6 \text{ m/sec}$

(b) عند سرعة ازلاق  $2.6 \text{ m/sec}$

(c) عند سرعة ازلاق  $3.7 \text{ m/sec}$